

УДК 535.37

ВОЗНИКНОВЕНИЕ ДВОЙНОЙ СТРУКТУРЫ
В НЕОДНОРОДНО УШИРЕНИХ СПЕКТРАХ
ЛЮМИНЕСЦЕНЦИИ. МОЛЕКУЛА ТЕТРАЦЕНА
В Н.-ПАРАФИНАХ

R. A. Авармаа и A. A. Горюховский

На примере молекулы тетрацена в матрицах Шпольского экспериментально показана возможность проявления двойной структуры бесфононных линий в неоднородно уширенных спектрах люминесценции при монохроматическом возбуждении. Серия узких линий возникает в результате резонансного возбуждения той доли центров, для которых возбуждающая частота совпадает с положением бесфононной линии спектра поглощения. Серия неоднородно уширенных линий проявляется за счет возбуждения набора разных центров через фоновое крыло спектра поглощения.

Введение

После того, как Персонов, Альшиц и Быковская [1] в 1972 г. впервые обнаружили яркое проявление эазилинейчатой структуры при лазерном возбуждении сплошных, неоднородно уширенных спектральных полос, значительно повысился интерес к вопросам неоднородного уширения спектров и возможностям его устранения. В работах [2, 3] аналогичное сужение спектральной структуры при монохроматическом возбуждении наблюдалось для ряда органических молекул в различных матрицах. В спектре поглощения (а также люминесценции) оказалось возможным устраниить неоднородное уширение методом «прожигания провала» [4]. Изучались также возможности сужения структуры в случае триплет-синглетной люминесценции [5]. Было проведено теоретическое рассмотрение зависимости ширин линий от условий возбуждения в неоднородных системах [6]. В частности, было показано, что в определенных условиях при монохроматическом возбуждении происходит своеобразное удвоение линий в спектре люминесценции — проявление «псевдолиний». Двойная структура состоит из резонансно возбуждаемых узких линий и возбуждаемых через фоновое крыло неоднородно уширенных пиков. В настоящей работе экспериментально доказана возможность возникновения «псевдо-структур» в спектре люминесценции неоднородной примесной системы.

Для возникновения двойных линий требуется выполнение довольно жестких условий [6]: монохроматическое возбуждение должно попасть в резонанс с одной из вибронных линий спектра поглощения с точностью до ее неоднородной ширины, которая, в свою очередь, не должна быть чрезмерно большой по сравнению с однородной шириной. Ясно, что при использовании в качестве источника возбуждения неперестраиваемого газового или твердотельного лазера выбор подходящих систем весьма ограничен.

В данной работе для возбуждения люминесценции использовался аргоновый лазер, позволяющий осуществить резонансное возбуждение молекул тетрацена (нафтацена) в разных матрицах-растворителях. В качестве растворителей использовались н.-парафины, поскольку в них наблюдается умеренное неоднородное уширение, меняющееся в зависимости от конкретного типа растворителя и от концентрации примеси.

Квазилинейчатые спектры тетрацена в н.-парафинах обращали на себя внимание сложностью мультиплетной структуры. Подробный анализ мультиплетов и колебательной структуры спектров поглощения и флуоресценции тетрацена в н.-парафинах от гексана до декана при температуре 77 °К проведен в работах [7, 8], а спектры при 4.2° К описаны весьма кратко [8]. Достаточно основательно изучены спектры поглощения и флуоресценции тетрацена в кристалле *p*-терфенила при 4.2° К [9]. Проведен колебательный анализ как для внутримолекулярных, так и фононных частот.

Прежде чем приступить к лазерному возбуждению, мы провели расшифровку мультиплетной и колебательной структуры спектров тетрацена методом селективного возбуждения отдельных линий (соответствующая методика усовершенствовалась в [10, 11]). Наши результаты, полученные при 4.2° К, в основном подтвердили выводы работ [7, 8]. Спектры флуоресценции тетрацена в пентане, тетрадекане, гексадекане и докозане, по-видимому, измерены нами впервые. Было также обнаружено, что в изученных нами матрицах спектры тетрацена обладают довольно интенсивными и структурными фононными крыльями.

Методика эксперимента

Растворы очищенного перекристаллизацией тетрацена в н.-парафинах концентрацией $1 \div 5 \cdot 10^{-5}$ моль/л были получены путем нагревания тетрацена в соответствующих растворителях. Использованные в качестве растворителей н.-пентан и н.-нонан были марки «х. ч. для хроматографии», н.-гексан «ч. д. а. для хроматографии», остальные растворители обладали чистотой х. ч. (тетрадекан и гексадекан) или ч. (докозан). Во время спектральных измерений объекты находились в жидком гелии при температуре 4.2° К.

Для монохроматического возбуждения люминесценции был использован аргоновый лазер с возможностью настройки на отдельные линии генерации. Флуоресценция тетрацена возбуждалась линиями 4764.9 и 4579.4 Å. Регистрация свечения осуществлялась с помощью двойного монохроматора «Спекс 1402» и системы счета фотонов. Подробное описание всей установки имеется в [12]. Избирательные спектры возбуждения измерялись на установке, состоящей из монохроматоров МДР-1 и ДФС-12 [11, 13].

Результаты и обсуждение

В дальнейшем условимся обозначать систему тетрацен в н.-парафине типа C_nH_{2n+2} сокращенно через $T-C_n$.

1. Структура мультиплетов. Как показано в [11], мультиплетная структура спектров Шпольского надежно расшифровывается с помощью метода измерения спектров возбуждения отдельных линий, который применялся и в данной работе.

Известно, что 0—0-мультиплеты спектров поглощения и флуоресценции тетрацена в C_7 , C_8 , C_9 , C_{10} состоят более чем из пяти линий, причем самая четкая структура наблюдается в C_9 [7, 8]. Однако проведенные при 77° К измерения не позволили дать полный анализ мультиплетов. Так, в [7] для $T-C_9$ только у двух головных линий были найдены колебательные последовательности, остальные же резонансные линии считались одиночными. Проведенный нами анализ спектров $T-C_9$ при 4.2° К показал, что всем 0—0-линиям, приведенным в табл. 1, сопутствуют последовательности вибронных линий с одинаковой структурой по внутримолекулярным колебаниям. Это доказывает их принадлежность молекулам тетрацена. В матрице C_6 , а по нашим измерениям также в C_{14} , C_{16} и C_{22} , мультиплеты вырождены главным образом в одну уширенную линию (рис. 1). Как в спектре люминесценции, так и поглощения (возбуждения) тетрацена проявляется ряд внутримолекулярных колебаний, частоты

Таблица 1

Компоненты 0—0-мультиплета
(чисто электронные линии)
в спектрах люминесценции
и возбуждения тетрацена
в н.-нанане при 4,2° К

$\lambda, \text{ \AA}$	$\nu, \text{ см}^{-1}$	Интенсивность
4719	21183	с.
4783	20902	сл.
4787	20886	ср.
4795	20848	с.
4827	20713	сл.
4833	20683	ср.

Приложение. Характеристика интенсивностей: с. — сильный,ср. — средний, сл. — слабый.

Таблица 2

Частоты колебаний (в области до 1400 см⁻¹) тетрацена в н.-нанане, проявляющиеся в спектрах люминесценции и возбуждения при $T = 4,2^\circ \text{ K}$

Люминесценция		Возбуждение	
частота, см ⁻¹	относительная интенсивность	частота, см ⁻¹	относительная интенсивность
310	100	315	100
—	—	610	10
620	25	630	8
756	20	743	20
1002	8	—	—
1160	20	1155	20
1176	5	1168	15
1200	50	1210	20
1390	80	1355	50

которых приведены в табл. 2 (зависимость частот от матрицы-растворителя мала).

2. Резонансное вторичное свечение при возбуждении 4765 Å. Переходим к рассмотрению спектров свечения тетрацена при лазерном возбуждении. В этом случае особую важность для анализа результатов имеет знание спектров возбуждения (рис. 2).

В системе Т—С₆ лазерная линия 4765 Å попадает в антистоксову область, а для большинства матриц в область фононного крыла, на которую может налагаться часть коротковолновых 0—0-мультиплета (рис. 1 и 2). Во всех матрицах возбуждение лазерной линией 4765 Å привело к проявлению сходного квазилинейчатого резонансного спектра вторичного свечения (рис. 3). При этом бесфоновые линии заметно уже (ширина от 1,5 до 4 см⁻¹), чем при широком возбуждении.¹

Здесь в чистом виде проявляется эффект устранения неоднородного уширения монохроматическим возбуждением, затрагивающим в основном только примесные молекулы, у которых частота чисто электронной линии совпадает с частотой лазерной линии [1, 2, 6]. По существу мы имеем дело с резонансным вторичным свечением, в котором нельзя строго отделить люминесценцию от комбинационного рассеяния [14]. Однако, за исключением резонансной чисто электронной линии, которая вуалируется отраженным и рассеянным светом, распределение интенсивностей между отдельными вибронными группами полностью соответствует обычному спектру люминесценции (сравн. рис. 1 и 3). Тот факт, что прекрасный квазилинейчатый спектр возникает в случае Т—С₆ даже при возбуждении на расстоянии 60 см⁻¹ ниже частоты чисто электронной линии, подтверждает наличие значительного числа «фоновых» центров в системах Шпольского со сравнительно узкими линиями — вывод, ранее сделанный на примере перилена в гексане [15].

3. Двойная структура линий. Лазерная линия 4579 Å попадает в область колебательных повторений чисто электронного перехода в спектре поглощения молекулы тетрацена (рис. 2). Для Т—С₆ это возбуждение близко к резонансу с линией $\nu_{10} + 745 \text{ см}^{-1}$, так что возбуждающая линия поглощается и в фононном крыле, и в пределах неоднородного контура бесфононной линии (колебательного повторения 0—0-линии). В результате спектр люминесценции содержит две последовательности бесфононных линий, сдвинутых относительно друг друга на 42 см⁻¹ — расстояние, равное разности частот возбуждающей линии и ближайшей к ней неоднородно уширенной бесфононной линии спектра поглощения.

¹ При возбуждении через монохроматор ширины линий составляли от 10 до 40 см⁻¹.

На рис. 4 изображена область чисто электронного перехода спектра люминесценции Т—С₆ при возбуждении 4579 Å.

Чисто электронная линия *S*, отстоящая от возбуждающей линии на 745 см⁻¹, проявляется вследствие возбуждения тех центров, для которых линия поглощения ν₀₀+745 см⁻¹ оказывается в резонансе с лазерной линией. Линия *W* является обычной неоднородно уширенной чисто электронной линией (рис. 1), которая возбуждается через фононное крыло

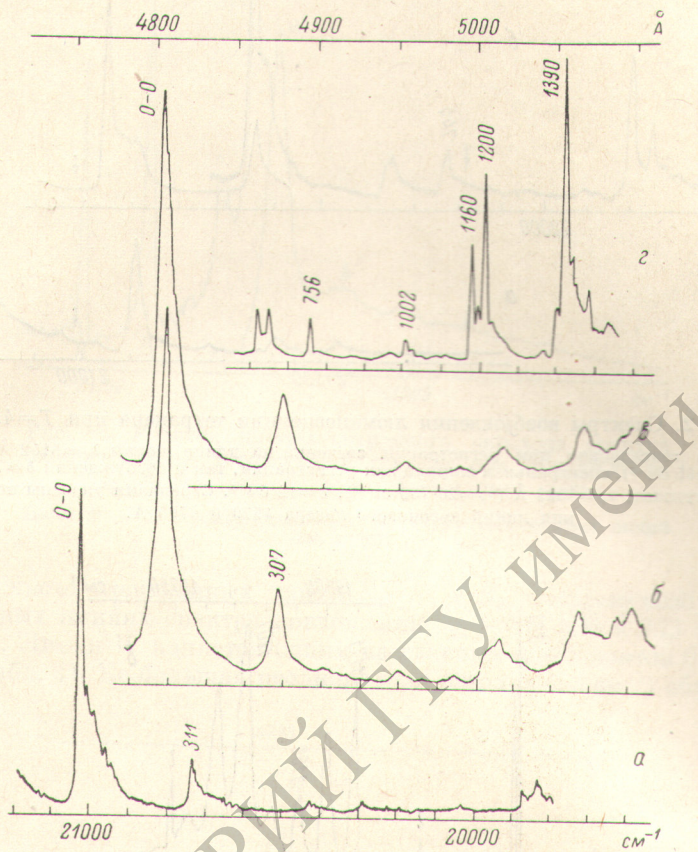


Рис. 1. Спектры люминесценции тетрацена в н.-парафинах при температуре 4.2° К.

a — в гексане при длине волнны возбуждающего света λ_ε=4680 Å (ν_ε=21 400 см⁻¹), спектральная ширина возбуждения δ_ε=35 см⁻¹; *b* — в тетрадекане, λ_ε=4730 Å (ν_ε=21 200 см⁻¹), δ_ε=80 см⁻¹; *c* — в гексадекане, λ_ε=4730 Å (ν_ε=21 200 см⁻¹), δ_ε=55 см⁻¹; *с* — участок спектра люминесценции в нонане при возбуждении на 0—0-линии, λ_ε=4719 Å (ν_ε=21 180 см⁻¹), δ_ε=7 см⁻¹. Спектральная ширина щелей регистрирующего монохроматора везде 3 см⁻¹. Цифрами около линий указаны колебательные частоты.

той же линии поглощения. Ширина *S*-линии ($\delta_S=3$ см⁻¹) определяется, как показано в [6], однородной шириной линии поглощения (в данном случае вибронной линии $\nu_{00}+745$ см⁻¹). Для *W*-линии $\delta_W=7$ см⁻¹, что меньше ее неоднородной ширины при широком возбуждении (11 см⁻¹). По-видимому, это сужение вызвано наличием тонкой структуры в фононном крыле. Как следует из [6], контур неоднородной линии при монохроматическом возбуждении в пренебрежении ее однородной шириной описывается произведением функции неоднородного распределения на кривую спектра поглощения. В результате тонкая структура фононного крыла может вызвать сужение неоднородно уширенной линии или даже проявление дополнительной структуры в ней.

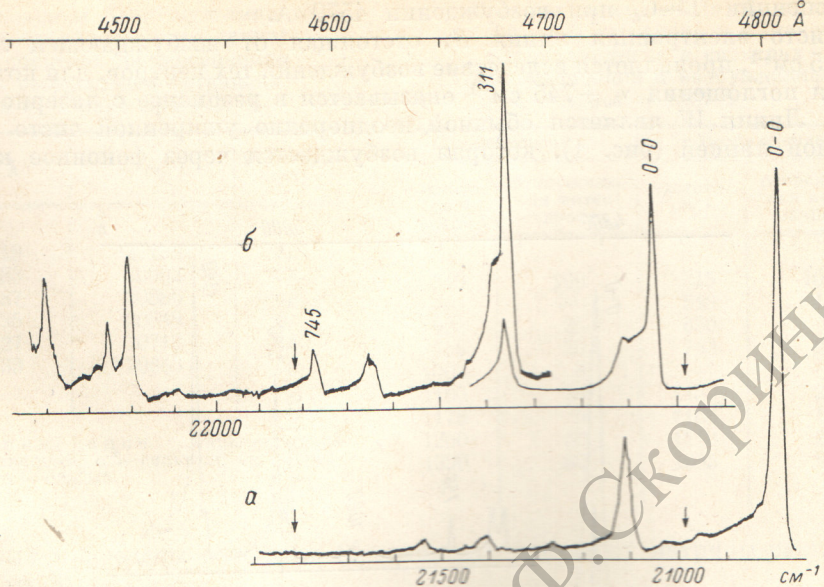


Рис. 2. Спектры возбуждения люминесценции тетрацена при $T=4.2^\circ\text{ K}$.
 а — в гексадекане при регистрации свечения в длине волн $\lambda_r=5152\text{ \AA}$ ($\nu_r=19\ 405\text{ cm}^{-1}$), спектральная ширина как регистрация, так и возбуждения $\delta=7\text{ cm}^{-1}$;
 б — в гексане, $\lambda_r=4823\text{ \AA}$ ($\nu_r=20\ 730\text{ cm}^{-1}$, $\delta=72\text{ cm}^{-1}$). Стрелками указаны положения линий аргонового лазера 4579 и 4765 \AA .

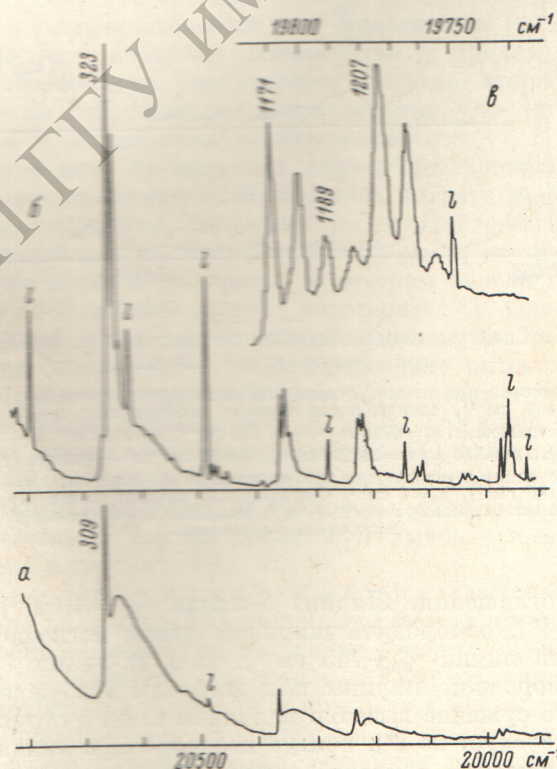


Рис. 3. Спектры свечения тетрацена при возбуждении лазерной линией 4765 \AA ($20\ 981\text{ cm}^{-1}$).
 а — в докозане; б и в — в пентане. В расширенном масштабе (в) показана группа бесфононных линий (указаны внутримолекулярные частоты) с фоновыми крыльями. Спектральная ширина щелей здесь и на рис. 4 и 5 — 1.5 cm^{-1} . Налагающиеся на спектр линии лазерной плазмы обозначены буквой l , $T=4.2^\circ\text{ K}$.

Действительно, на фононном крыле наблюдаются довольно отчетливые максимумы: компоненты *a*, *b* и *c* (рис. 4). Пики *a* и *b* отстоят на 24 см^{-1} от линий *S* и *W* соответственно, а *c* — на 45 см^{-1} от *W*.

Аналогичное совместное проявление узколинейчатой и неоднородно уширенной структур наблюдалось в $\text{T}-\text{C}_9$ (рис. 5). Здесь возникает сразу

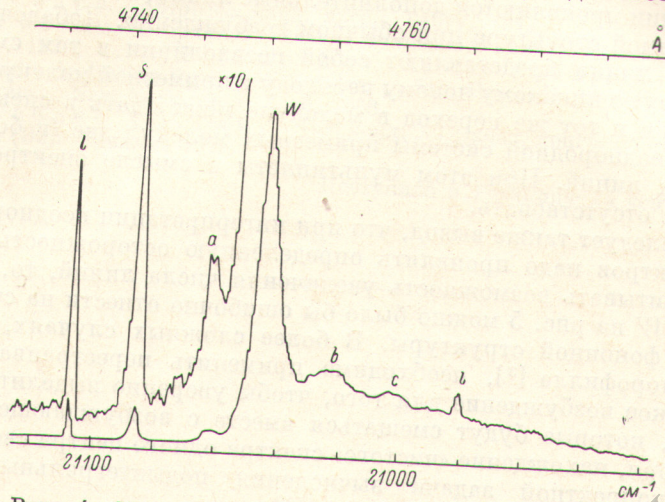


Рис. 4. Участок чисто-электронного перехода спектра люминесценции тетрацена в гексане при возбуждении лазерной линией 4579 \AA ($21\ 831 \text{ см}^{-1}$).
Пики *S* и *W* образуют двойную структуру бесфононных линий
(см. текст).

три узких чисто электронных линии S_1 , S_2 и S_3 , которые возбуждаются на смещенных линиях спектра поглощения $\nu_{00} + 610$, 630 и 743 см^{-1} соответственно. Линия *W* является одним из главных компонентов $0-0$ -мультиплета (табл. 1). Ее большая неоднородная ширина (13 см^{-1}) объясняется

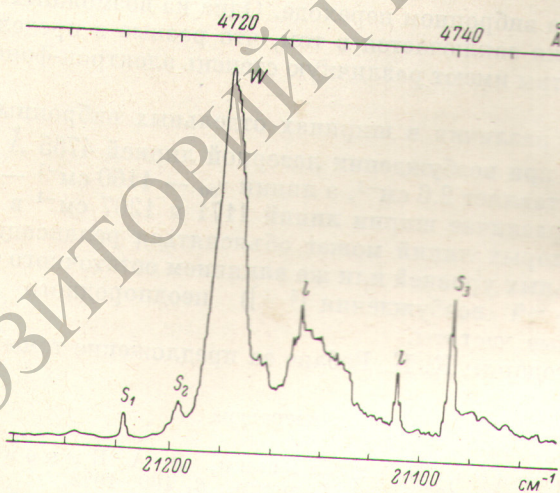


Рис. 5. «Псевдоструктура» в спектре люминесценции тетрацена в нонане при возбуждении лазерной линией 4579 \AA ($21\ 831 \text{ см}^{-1}$).

высокой концентрацией примеси, причем сужение за счет структуры фонового крыла должно быть менее заметно, чем в случае $\text{T}-\text{C}_6$, так как столь узкие максимумы в фононных крыльях не наблюдаются.

Таким образом, экспериментально доказана возможность одновременного проявления в спектре люминесценции как узких линий, у которых

неоднородное уширение устранено монохроматическим возбуждением, так и более широких бесфононных линий, сохраняющих неоднородную ширину. В работе [6], где предсказывалось появление двойной структуры, дополнительные линии назывались «псевдолиниями». На самом деле, к примеру в случае $T-C_6$ и $T-C_9$, при лазерном возбуждении в спектре люминесценции проявляются дополнительные линии, которые отсутствуют в мультиплетной структуре при обычном возбуждении. Добавочные узкие резонансные линии представляют собой псевдолинии в том смысле, что не соответствуют никакому новому переходу в молекуле может дать в спектре люминесценции неоднородной системы примесных молекул две (и более) чисто электронных линий. При этом мультиплеты в смысле спектров Шольцкого могут отсутствовать.

Отсюда следует также вывод, что при интерпретации неоднородно уширенных спектров надо проявлять определенную осторожность. Если заранее не учитывать возможность увеличения числа линий, то, например, линии S_2 и W на рис. 5 можно было бы ошибочно отнести на счет расщепления или фононной структуры. В более сложных случаях, таких как спектры хлорофилла [3], необходимо применить перестраиваемое монохроматическое возбуждение для того, чтобы уверенно выделить резонансные линии, которые будут смещаться вместе с возбуждающей частотой. Строго говоря, нахождение «чистого» спектра одного центра сводится к решению некорректной задачи вычисления подынтегральных функций по совокупности значений интеграла [6].

4. Дополнительные данные и замечания. Применение подходящего монохроматического возбуждения (4765 \AA), устранившего неоднородное уширение, позволило во всех изученных спектрах люминесценции выделить структуру фононных крыльев. Как общую закономерность, можно отметить сужение фононных крыльев и проявление внутренней структуры в них при переходе к растворителям с более короткой цепочкой (рис. 3). Неожиданным представляется уменьшение относительных интенсивностей фононных крыльев при переходе от возбуждения на чисто электронной линии к более коротковолновому возбуждению (4579 \AA) на выбранном переходе. Одна из возможных причин такого перераспределения заключается в том, что разные в пределах неоднородного состава спектры имеют различную степень электрон-фононного взаимодействия.

Обнаружены различия в ширинах отдельных вибронных линий. Так, в системе $T-C_6$ при возбуждении лазерной линией 4765 \AA ширина линии $\nu_{00} - 310 \text{ см}^{-1}$ составляет 2.6 см^{-1} , а линии $\nu_{00} - 1160 \text{ см}^{-1}$ — лишь 1.4 см^{-1} . Заметно также различие ширин линий 1171 и 1207 см^{-1} в $T-C_5$ (рис. 3). Уширение некоторых линий может объясняться релаксационным уширением колебательных уровней или же влиянием остаточного (неустранимого монохроматизацией возбуждения [5, 6]) неоднородного распределения на колебательные частоты.

Авторы благодарны К. К. Ребане за предложение темы и Л. А. Ребане за обсуждение.

Литература

- [1] Р. И. Персонов, Е. И. Альшиц, Л. А. Быковская. Письма в ЖЭТФ, 15, 609, 1972; Opt. Commun., 6, 169, 1972.
- [2] Р. И. Персонов, Е. И. Альшиц, Л. А. Быковская, Б. М. Харламов. ЖЭТФ, 65, 1825, 1973.
- [3] Р. Авармаа. Изв. АН ЭССР, физ. матем., 23, 93, 1974.
- [4] А. А. Гороховский, Р. К. Каарли, Л. А. Ребане. Письма в ЖЭТФ, 20, 474, 1974.
- [5] Т. Б. Тамм, П. М. Саари. Опт. и спектр., 38, 1029, 1975.
- [6] Р. Авармаа. Изв. АН ЭССР, физ. матем., 23, 238, 1974.
- [7] Т. Н. Болотникова, О. Г. Гаркуша, Л. А. Климова, Г. Н. Нерескова. Сб. «Вопросы радиофизики и спектроскопии», 3, 53, М., 1967.
- [8] В. А. Журавлева, Л. А. Климова, Г. Н. Нерескова, Л. Ф. Уткина. Матер. VII Уральской конф. по спектр., 2, 141. Свердловск, 1971.

- [9] N. J. Kruse, G. J. Small. *J. Chem. Phys.*, **56**, 2985, 1972; G. J. Small.
J. Chem. Phys., **58**, 2015, 1973.
- [10] П. Саари, Р. Авармаа. Изв. АН ЭССР, физ. матем., **19**, 115, 1970.
- [11] К. Ребане, П. Саари, Т. Тамм. Изв. АН ЭССР, физ. матем., **19**, 251,
1970; Т. Б. Тамм, П. М. Саари. Опт. и спектр., **36**, 328, 1974.
- [12] Л. А. Ребане, Т. Ю. Хальдре, А. Е. Новик, А. А. Горохов-
ский. ФТТ, **15**, 3188, 1973.
- [13] П. М. Саари. Автореф. канд. дисс., Тарту, 1972.
- [14] К. К. Ребане. Вторичное свечение примесного центра кристалла. АН ЭССР,
Тарту, 1970; V. V. Низунаков, К. К. Ребане, I. J. Tehver.
In «Light Scattering Spectra of Solids», p. 513. Proceedings of the International
Conference, New York, Sept. 3—6, 1968.
- [15] К. К. Ребане, Т. Б. Тамм. Тез. докл. XI Европ. конгр. по молек. спектр.,
172 — (B5). Таллин, 1973.

Поступило в Редакцию 24 сентября 1974 г.